

## アンカー定着部シースの拘束効果について(その2) —SHSシースの摩擦抵抗性状試験—

佐賀大学理工学部 正 鬼塚克忠 佐賀大学理工学部 学 粟谷浩司  
岸本ボーリング(有) 正○原 裕 岸本ボーリング(有) 正 奏 雅博

### 1. まえがき

アンカー定着部シース材質によるアンカー引張り材の付着強度に及ぼす影響は、シース外部の拘束条件によって付着強度が異なるため、種類が違うシース自体の相互間の比較は明確にされていない。本研究は、新たに開発した試験方法で定着部シース材の拘束効果を明らかにするものである。現在試験中であるが、今回はその一部をまとめて報告するものである。今後PC鋼より線の本数を変え、シース材を補強ポリエチレン、ポリエチレンの各シースについて試験を行いシースの外部を拘束したときのシース材に働く拘束効果を明らかにしていく。

### 2. 試験方法

シースの種類はSHSシース(ステンレス製ワインディングシース $\phi 87/80\text{mm}$ )が無拘束の場合とSHSシースを鋼管(SGP.  $\phi 114.3/105.3$ )内に挿入してアウターグラウトを注入した2種類について試験を実施した。アンカーケーブルはPC鋼より線 $\phi 12.7\text{mm}$ 、1本をシースの左右から内部にオーバーラップ配置してグラウト注入を行い、試験体を作製した。

アンカーグラウトは、水・セメント比W/C=45%のセメントペーストを注入し、4週間の材令でグラウトが硬化した後にPC鋼より線を片側固定とし反対方向にセンターホール型KKEジャッキを使用して片側緊張張載荷とした。荷重の測定には電磁ロードセルを使用した。試験体および載荷装置を図-1と写真-1に示す。

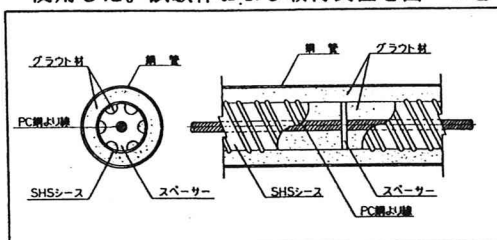


図-1 試験体の構造図

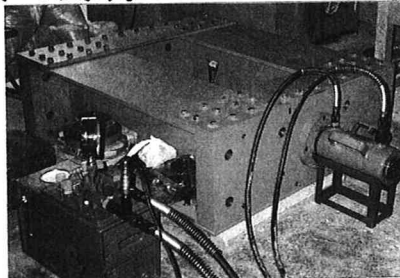


写真-1 載荷装置

### 3. 試験体の種類と試験結果

試験体の種類と試験結果を表-1に示し、定着部のPC鋼より線の伸びと荷重の関係を図-2に示す。

表-1 試験体の種類と試験結果

番号	シース				引張り材			最大引張荷重 $P_{max}$ (t f)	最大引張荷重 平均値 (t f)	付着強度 (kgf/cm)	
	種類	径 (mm)	長さ(m)	板厚(mm)	径 (mm)	本数	実付着長(m)			単線周長	束ね周長
No 1	SHS-S	$\phi 87/80$	$l=1.00$	$t=0.35$	$\phi 12.7$	n=1	$l=1.00$	7.90 8.18 7.66	7.91	19.8	19.8
No 2	SHS-S	$\phi 87/80$	$l=1.00$	$t=0.35$	$\phi 12.7$	n=1	$l=1.00$	11.30 10.50 11.42	11.07	27.8	27.8

(注) ① 試験体No 1は無拘束状態でSHSシースを試験したものである。

② 試験体No 2はSHSシースをアウターグラウトで拘束した場合。

#### 4. 考察

##### 1) 最大荷重について

S H S シースが無拘束の場合 No.1 の 3 試験体は共に付着切れを示した。表-1 示すように実付着長  $l_b = 1.00\text{m}$  で、最大引張荷重  $P_{max} = 7.66\text{tf} \sim 8.18\text{tf}$  で平均  $7.91\text{tf}$  になり、テンドン降状荷重  $T_{ys} = 15.9\text{tf}$  の約  $1/2$  程度で引き抜けている。これに対して S H S シースをアウターグラウトにて拘束した場合は No.2 の 3 試験体共に付着切れを示した。最大引張荷重  $P_{max} = 10.50\text{tf} \sim 11.42\text{tf}$ 、平均  $11.07\text{tf}$  で無拘束の状態と比較すると約  $1.4$  倍の引張荷重となり、アウターグラウトによる拘束効果が明確に発揮されている。

##### 2) 付着応力度について

表-1 に示すように、No.1 の S H S シースが無拘束の場合、付着強度（単線周長の場合） $\tau = 19.8\text{kgf/cm}^2$ 、No.2 の S H S シースをアウターグラウトで拘束した場合  $\tau = 27.8\text{kgf/cm}^2$  であり、無拘束の状態と比較すると最大引張荷重と同様に約  $40\%$  増の付着強度が発揮することになる。

##### 3) 荷重・伸び挙動について

S H S シースを無拘束および拘束した場合の、試験体の荷重・伸び曲線は図-2 に示すように 2 種類共に直線的で弾性的な挙動を示しており、付着切れ後も荷重低下は少なく、圧縮型アンカーに近い性状を示している。

#### 5.まとめ

- 1) アンカー引張材とグラウトの付着強度はシース外部のアウターグラウトや地盤の拘束条件が大きな影響を与えることが知られている。今回の室内試験では S H S シースをアウターグラウトで拘束した場合と無拘束の場合とを比較すると最大引張荷重と付着強度に対して約  $40\%$  増の値を得ることができ、アウターグラウトによる拘束効果を確認することができた。
- 2) 実際での地盤に施工されるアンカーは、シースの拘束と地盤による拘束がプラス側に働くので、今回の試験結果のような摩擦抵抗値が得られることになる。実際の地盤においてはグラウトと地盤との次第破壊によって定着長部が自由長化した P C 鋼より線の伸びと、グラウトと P C 鋼より線との変位量を明確に区別することは困難である。しかし、今回の試験結果からは今後のアンカー定着部に関する有効な設計資料が得られたと考える。

#### 〔参考文献〕

- 1) 山田邦光・内藤清司・原 裕：定着部シースの拘束効果に関する研究，第 28 回土質工学研究発表会，PP.2105-2106, 1993.
- 2) 山田邦光・内藤清司・原 裕：定着部シースの拘束効果に関する研究（残留摩擦抵抗性状実験），土木学会第 48 回年次学術講演会，PP.1266-1267, 1993.
- 3) 原 裕・鬼塚克忠：アンカー定着部シースの拘束効果に関する研究，佐賀大学理工学部集報，第 22 卷，PP.229-236, 1994.

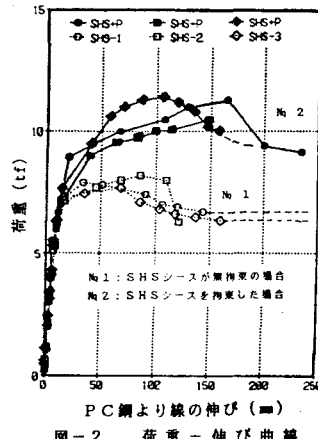


図-2 荷重 - 伸び曲線